

埼玉大学 理工学部 正員 風間秀彦  
熊谷工業高校 正員 大場征一

### 1. まえがき

関東地方の広範囲に分布している赤褐色の火山灰質粘性土、いわゆる関東ロームは、高い含水比でありながら、地山においてはかなりのせん断強度を有してあり、安定性に富んでいる。しかし、重施工機械によりこね返しを受けると、軟弱化し、トラフ、カビリティーの確保さえも困難になることは周知のことである。

そこで本報告は、締固め方法および締固め仕事量が関東ロームのこね返しにどのように影響するか、また、こね返されたロームがどのような力学特性や圧縮特性を示すか、さらに、締固め方法や仕事量による、ロームの微視的構造の変化について、電子顕微鏡を用いて検討を行つたものである。

### 2 試料および実験方法

実験に用いた試料は、同一地点で採取した新規ロームの立川ロームと武藏野ロームである。試料の土質工学的特性を表-1に示した。

供試体の作製は、自然含水比状態の試料を手でよくこねほぐし、 $9.52\text{ mm}$  フルイの通過したものを使い、直徑 $10\text{ cm}$ 、高さ $12.7\text{ cm}$  のモールドに、表-2のようす締固め方法、締固め仕事量で3層に分けて締固めた。実験は、締固め方法および締固め仕事量が同じ状態で少くとも3本の供試体を締固めた。その内の1本はWES型粘性土用コーンペネトロメーターによるコーン指數試験<sup>1)</sup>、2本目の供試体は、直徑 $5\text{ cm}$ 、高さ $10.5\text{ cm}$  の供試体に成形して、一軸圧縮試験を行つた同時に、成形時に削り取った一部を微視的構造観察のために電子顕微鏡の試料にした。残りの1本は、供試体を飽和させて、圧密試験の供試体とした。一軸圧縮試験および圧密試験は通常の方法を行つた。

### 3 実験結果と考察

3.1 乾燥密度、コーン指數、一軸圧縮強度、締固め仕事量と乾燥密度、コーン指數、一軸強度との関係を図-1、2、3にそれぞれ示した。乾燥密度などに関して、締固め仕事量が増加するにつれて、 $\gamma_d$  は増加するが、仕事量が大きくなると増加率は小さくなる。すなわち、動的の場合、 $\gamma_d$  は $50\text{ 回/層}$  以上では、ほぼ一定となる。また、半動的の場合 $200\text{ 回/層}$  程度でも $\gamma_d$  がほぼ一定になると云はれるが、図示していないが $400\sim 500\text{ 回/層}$  ではほぼ一定となる。静的な場合 $12\text{ 回/層}$  以上になると水分が餘り出されて、 $5\sim 10\%$  程度の含水比の低下が見られる。この水分が餘り出される現象は静的以外には見られない。

表-1 試料の諸性質

試料	採取地	自然含水比%	LL%	PL%	R <sub>f</sub> %	8u <sub>100</sub> mm <sup>2</sup>
立川ローム	浦和市南浦和	92~102	129.5	95.0	1.271	1.56
武藏野ローム	浦和市南浦和	94~109	127.1	91.3	1.276	1.65

表-2 締固め方法と仕事量

締固め方法	締固め仕事量
動的	ランマー重量 2.5kg 落下高 30cm
半動的 (Kneading)	圧力 1.7kg/cm <sup>2</sup> 圧縮面積 6.3cm <sup>2</sup>
静的	全断面圧縮 圧縮速度 5mm/min

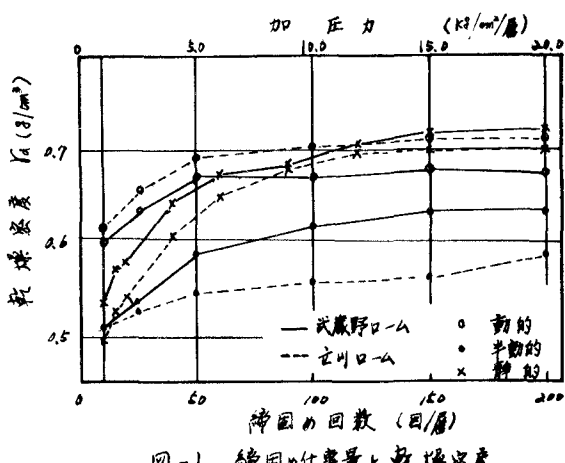


図-1 締固め仕事量と乾燥密度

綿固められた供試体のコーン指數  $8c$  に関する、図-2 からわかるように、動的では 25 回転を頂点として、それ以上では減少している。また半動的では、300 ～ 400 回転を頂点としている。静的では、仕事量が大きくなるほど増加率は減少するが、 $8c$  は増加の傾向にある。一軸圧縮強さ、および変形係数に関しても全く同様な傾向にある。

図-3 は乾燥密度と一軸圧縮強さ  $8u$  との関係を示す。図中の矢印は、綿固め仕事量が増加することを示している。図からわかるように、動的および半動的において、乾燥密度がほぼ一定になる綿固め仕事量より小さな仕事量で  $8u$  は急激に低下していく。いいかえるならば、乾燥密度がかなり増加しても、強度が低下する綿固め仕事量の部分が存在することである。静的な綿固めでは、従来からいわれているようにこの効果は全く見られないが、動的と半動的にはこの効果が見られる。動的と半動的の綿固め仕事量を換算できないので、厳密な意味で比較はできないが、動的の方がこの効果は大きいといえる。同様な実験の半動的で 100 回転以上でこの効果の影響が現われるという報告<sup>2)</sup>もあるが、本実験では 400 ～ 500 回転が竟になっている。このように、3 種類の綿固め方法において、静的は他のものと比べ異質な綿固め機構であるといえる。

### 3.2 圧密特性

圧密試験の  $e$  ～  $\log P$  曲線を図-4 に示した。綿

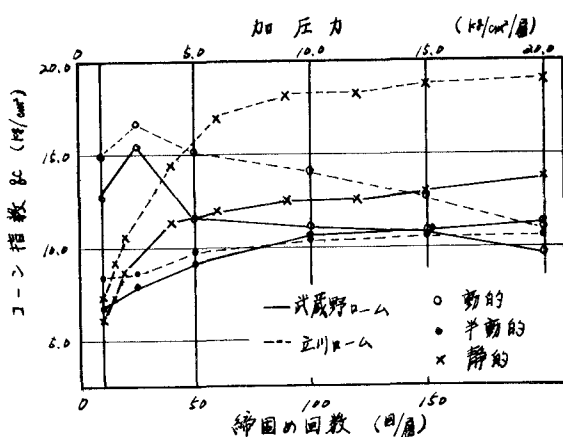


図-2 綿固め仕事量とコーン指數

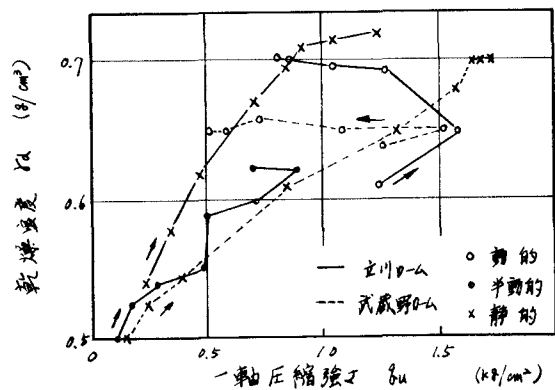


図-3 一軸圧縮強さと乾燥密度の関係

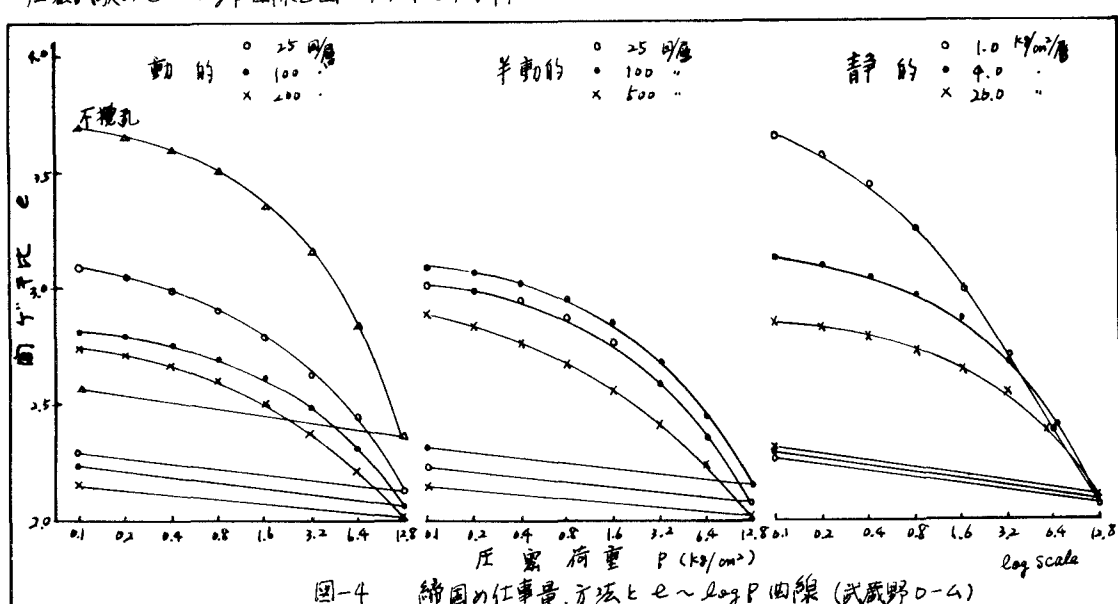


図-4 綿固め仕事量、方法と  $e$  ～  $\log P$  図線 (武蔵野ローム)

固め仕事量の増加に伴ない、 $e \sim \log P$  曲線はややなだらかになり、下方にすれるとともに直線部分が少くなる。このため、 $C_c$  や  $P_f$  が求めにくくなる。この結果は、不飽和状態で圧密試験と下結果<sup>3)</sup>一致する。また、締固め方法および仕事量によるこね返し程度が、特に圧密の難易性に与える影響はほとんどないと思われ、12.8  $\text{kg/cm}^2$  の圧密荷重でも、初期間ゲキ比の影響がそのまま残っている。ただし、静的の場合 12.8  $\text{kg/cm}^2$  の荷重では、ほぼ初期間ゲキ比の影響がなくなるのが特徴である。これは静的な締固めと圧密とは、原理的に共通しているためと思われる。一方、動的な締固めで不飽和の圧密試験では、静的な場合と同様な傾向の報告<sup>3)</sup>がある。この相違は飽和・不飽和による差か、試料による違いかはっきりしない。図-5 に圧密係数  $C_u$  と平均圧密圧力  $P$  の関係を示した。関東ロームでは動的な実験回数が増加するにつれて  $C_u$  が小さくなるといわれてあり<sup>4)</sup>。本実験でも動的な場合やそのような感じがする。半動的および静的ではデータのバラツキが大きく、仕事量による差は明らかでない。また、普通の粘土に見られるように、 $P$  の増加に伴ない  $C_u$  が減少する傾向は、特に見られない。そのほか、各荷重段階における沈下量と時間曲線の関係は、各荷重段階とともに載荷直後の沈下量が多い。以下がって、普通の粘土のように曲線定規の Fitting がうまくいかないのが特徴である。

### 3-3 微視的構造

電子顕微鏡写真を写真-1～9 に示す。写真-4のみが武藏野ロームであり、他はすべて立川ロームである。立川ローム-4、武藏野ロームに関する写真観察結果は全般に大きく異なる点はない。

不搅乱試料を低倍率で見ると、写真-1 はよう 10～300  $\mu$  程度ブロックの集まりになっており、それらのブロックは独立に存在するのではなく、他のブロックとのつながりをもっている。これで拡大してみると写真-2～4 のようになる。全体的に、これらの構造は不規則であるが、大きく分ける

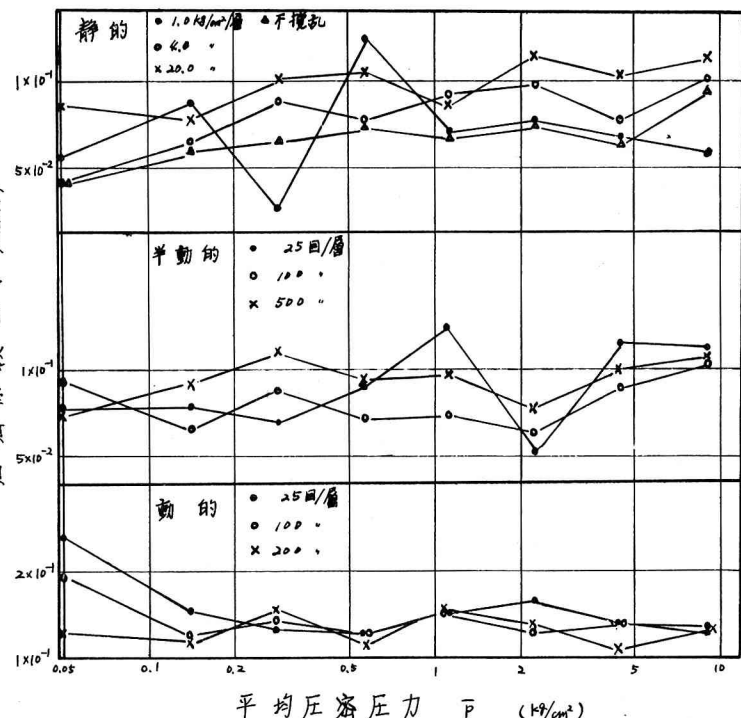


図-5 立川ロームの平均圧密圧力と圧密係数との関係

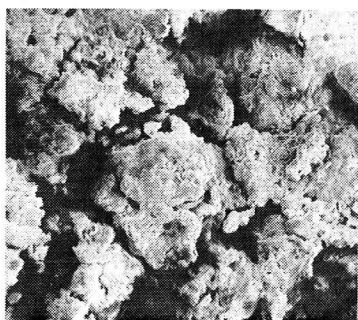


写真-1 不搅乱  $200\mu$

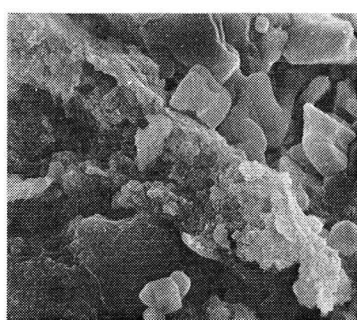


写真-2 不搅乱  $8\mu$

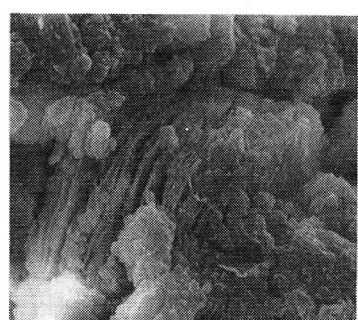


写真-3 不搅乱  $8\mu$

と2つにある。すなわち、主として小さい粒子(1μ以下のところが多い)が無数に集まって構成されている部分。上記は因子状であつたり、写真-4のように多孔質のものもある。もうひとつは、写真-2の大きな粒子、写真-3のような板状の粒子の集まりなどに代表される特異な構造である。動的な締固めをすると、写真-5、6のようになり、こね返すことによって、小粒子の集合体は小さい集合体に分割されて分散する。

これはこね返し効果の大きいものほど顕著である。一方、半動的では仕事量が小さい間はまだ不攪乱に近い構造が残っている(写真-7)。500回転では動的なものに近づく。静的には、写真-8・9のようだ。不攪乱状態の構造とあまり変わらないが、加圧力が増すと全体的に縮り下感じになる。これは締固めの機構上、粒子あるいは粒子の集合体の移動が拘束されるためである。逆に、動的では衝撃荷重により、安定を保つて構造の破壊と同時に拘束水が自由水化して、土の流動性が増す。このために、オーバーコンパクション現象が生じる。

以上の実験結果から、関東ロームのこね返しに関して、従来からいわれている構造破壊について、電子顕微鏡写真から、ほぼ裏づけることができた。さらに、こね返し程度と土質工学的特性の関係を細部にわたって把握する必要がある。また、微視的な立場から定量的な検討の必要もある。

#### 参考文献

- 1) 関東ローム研究委員会：関東ロームの分類試験方法についての提案。関東ロームに関するシンポジウム、土質工学会、1970, PP. 7~13
- 2) 風間、内田、向山：締固め下関東ロームの強度について。第6回国土質工学研究発表会、1971, PP. 281~284
- 3) 久野、渋谷：関東ロームの圧密試験について。オ19回国土質工学シンポジウム、1974, PP. 79~86
- 4) 高速道路調査会：関東ロームの土工、共立出版、1973, P. 119

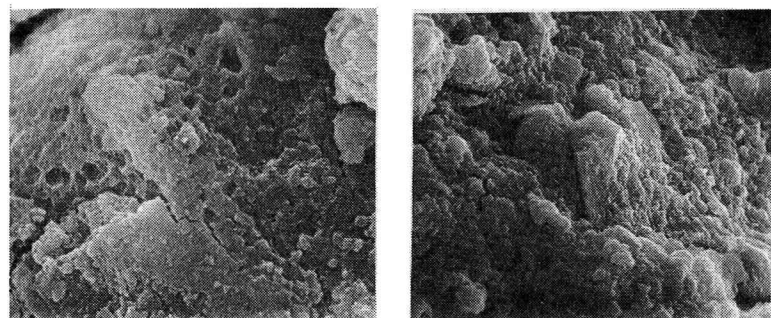


写真-4 不攪乱  $8\mu$       写真-5 動的500回転  $8\mu$

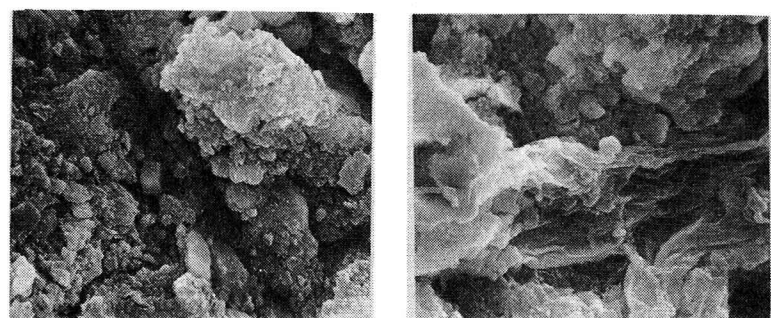


写真-6 動的200回転  $8\mu$       写真-7 半動的100回転  $8\mu$

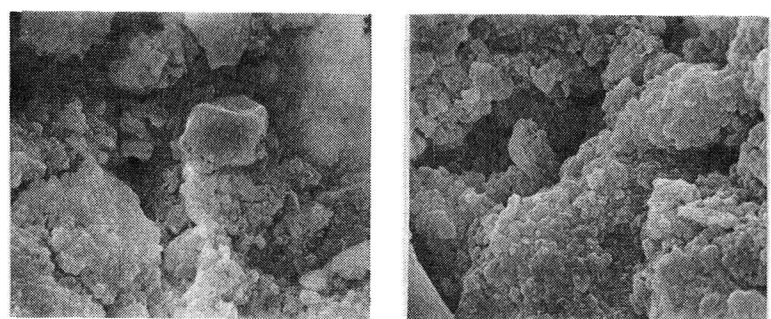


写真-8 静的7回転  $5\mu$       写真-9 静的20,000回転  $4\mu$